

美国弗吉尼亚理工学院州立大学物理系 1979 年在我国招考研究生 4 小时考试试题参考答案

(试题见本刊 80 年第 2 期)

1) A 答 实验上测量磁化率的仪器有磁天平(亦称磁秤)、振动样品磁强计等, 精确度较高的是磁天平(如图 1 所示). 其原理是通过测量具有确定磁矩的样品

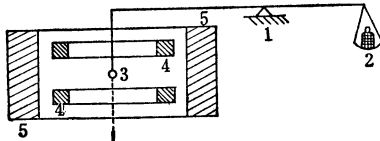


图 1 磁天平示意图

1.精度较高的天平支点, 2.天平的法码端, 3.悬挂在天平另一端的样品, 4.产生均匀梯度磁场的线圈, 它使样品在  $z$  轴方向受力:  $F_z = M_z \frac{\partial H_z}{\partial z}$ ,  $M_z$  和  $\frac{\partial H_z}{\partial z}$  分别是磁矩和梯度磁场在  $z$  方向上的分量, 5.产生均匀磁场的线圈(一般是绕在铁芯上), 它使样品顺磁磁化

在均匀梯度磁场中受的力, 求出磁化率. 改变样品温度, 重复测量它的受力大小, 就可得到磁化率跟温度的关系. 泡利磁化率始源于对电子气顺磁性的研究. 1927 年泡利首先用量子理论, 研究电子气(自由电子组成)的顺磁性, 用费米-狄拉克统计取代玻耳兹曼统计. 指出, 由于自旋效应导致电子气的顺磁磁矩  $M_p$ , 在低温条件下(即  $KT \ll \varepsilon_0$ ,  $K$  是玻耳兹曼常数), 满足下式:  $M_p = 3N\mu^2 H / 2\varepsilon_0$  (1)

或  $x_p = 3N\mu^2 / 2\varepsilon_0$ , 其中下标  $p$  表示顺磁,  $\mu$  是玻尔磁矩,  $N$  是自由电子的数目,  $\varepsilon_0$  是完全简并时电子的最大能量,  $H$  是外磁场强度,  $x_p$  就是电子气的顺磁磁化率, 亦称泡利磁化率. 1934 年布洛赫进一步指出, 在有限温度下, 电子气的泡利磁化率应是

$$x_p = \frac{3N\mu^2}{2\varepsilon_0} \left\{ 1 - \frac{\pi^2}{12} \left( \frac{KT}{\varepsilon_0} \right)^2 \right\} \quad (2)$$

这就是泡利磁化率依赖于温度变化的基本公式. 金属里的电子高度简并, 内层电子是饱和结构, 外层价电子(即载流子)可以认为是准自由电子, 它的最大能量就是金属的费米能量. 因而自由电子气的顺磁性量子理论也完全适用于金属的载流子. 金属的泡利磁化率, 便是那些费米面附近的准自由价电子组成的电子气的顺磁磁化率, 它满足公式(2), 而  $\varepsilon_0$  是金属的费米能量(一般是几个电子伏特).

为简便起见, 我们选用某碱金属(外层只有一个价电子)作为样品, 用磁天平测量它在不同温度下的受

力, 求出磁矩, 从中减除逆磁磁矩(它等于顺磁磁矩的三分之一)之后, 就得到该碱金属的泡利磁化率依赖于温度的关系. 可以预期, 所得结果如图 2. (何炬)

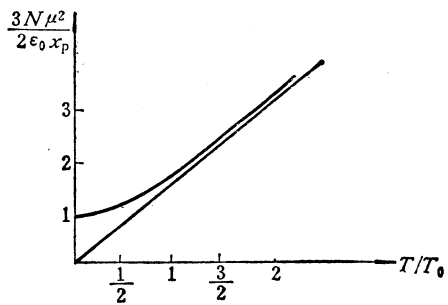


图 2 金属的泡利磁化率对温度的依赖曲线  
(图中直线表示经典统计给出的结果)

B. 答 在问题 2 中讨论的体系是一个电子和一个氧核构成的七价氧离子  $O^{+7}$ . 这是一个类氢离子, 它的光学性质可以从量子力学得到精确预言(理论计算和实验结果符合在  $10^{-7}$  以内). 由于弱相互作用, 使它处于  $1s$  和  $2p$  的叠加状态中, 测量能级时, 它有一定几率处于  $1s$  态, 也有一定几率处于  $2p$  态. 这两个态是宇称相反的. 可以通过下述实验来证实这体系确实既处于  $1s$  态, 又处于  $2p$  态中.

我们找一标准的连续谱光源, 把观测样品置于透明盒子中, 用连续谱光源照射, 后面置一摄谱仪, 把有样品和没有样品的频谱测出, 相互对照就可以得到样品的吸收光谱. 如果离子  $O^{+7}$  初始处于  $1s$  态, 受到连续谱光源照射后, 按电二极矩选择定则: 初末态角量子数之差  $\Delta l = \pm 1$ , 能够使电子从  $1s$  能级跳到  $2p$ ,  $3p$ ,  $4p$ , … 能级, 这就是束缚态  $\rightarrow$  缺束缚态跃迁, 形成一组吸收线系, 类似氢原子的巴尔末线系. 同时也能使电子从  $1s$  能级跳到连续态, 即束缚态  $\rightarrow$  自由态的跃迁, 这跃迁形成一个连续吸收谱. 线吸收系数和连续吸收系数示意图如图 3:

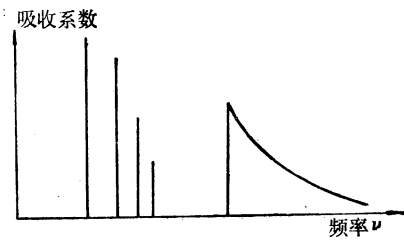


图 3

电子的能级图如图 4 所示. 由连续谱吸收界位置, 以及线吸收谱位置, 都可以判断电子是从那一个能级开始起跳的. 对于处于  $2p$  态的电子, 也有类似的线吸收谱和连续吸收谱. 和  $1s$  不同的是, 在  $2p$  态的电子, 按  $\Delta l = \pm 1$  规则, 可以跳到  $3s$ ,  $3d$ ,  $4s$ ,  $4d$ , … 线的数目多一倍. 也可以根据连续吸收界位置或这一组谱线

位置独立算出电子初态能级数值。因此，通过样品的吸收谱得到的初态能级数据和量子力学预言的比较，可以准确地判断初态是否包含相反字称混合物 $2p$ 态，通过吸收谱强弱对比，还可以进一步推算出体系处于 $2p$ 态的相对几率。

(宋 娜)

C. 答 光是电磁波谱的一个组成部分，电磁波谱中的所有波在本质上都是电磁的，在自由空间中的各种电磁波传播速率 $c$ 都相等。因此，只要我们测得某种电磁波在自由空间的传播速率，即测出了光的速率。

利用电磁空腔中电磁共振形成驻波的原理，我们可用“微波空腔方法”对光速进行测量：

取一段矩形波导，用两个金属盖把两端封闭起来，就做成了一个电磁共振腔(见图5)

测定 $c$ 值的步骤是，先测出该矩形腔的宽度 $a$ 和长度 $l$ ，然后把该空腔调谐到共振，这时就可测出导波波长 $\lambda_g = 2l/n$ ,  $n = 1, 2, 3 \dots$ .  $n$ 是空腔中驻波所含半波的个数。根据自由空间的波长 $\lambda$ 和 $\lambda_g$ 的关系：

$$\lambda = \frac{\lambda_g}{\sqrt{1 + (\lambda_g/2a)^2}}$$

可计算自由空间的波长 $\lambda$ ，再由实验测出腔共振频率 $f_r$ 后，就可根据 $c = \lambda f_r$ 求出速率 $c$ 。若把以上关系写在一起，就有：

$$c = \lambda f_r = \frac{\lambda_g}{\sqrt{1 + (\lambda_g/2a)^2}} f_r = \frac{2l}{n} \frac{1}{\sqrt{1 + (l/na)^2}} f_r$$

从上式可看出，该法测出的光速的精确度取决于对共振腔尺寸 $a$ 和 $l$ 测量的精确度以及实验测得的共振频率 $f_r$ 的精确度。例如，当测得的数据为 $a = 2.67$ 厘米， $l = 15.64$ 厘米， $f_r = 9.50 \times 10^9$ 周/秒， $n = 8$ 时，则代入上式，此时我们测到的电磁波的速率，也即光的速率 $c = 2.99 \times 10^8$ 米/秒。

如果我们期望所测出的光速精确度有5位有效数字，那么对腔的尺寸和共振频率的测量精确度也必须相应的提高。例如，若测得的数据为 $a = 2.6732$ 厘米， $l = 15.6457$ 厘米， $f_r = 9.4983 \times 10^9$ 周/秒， $n = 8$ ，那时测出的光速就是 $c = 2.9984 \times 10^8$ 米/秒。实验室测光速的方法很多，以上是其中的一种。(陈文祥)

D. 答 全息图是全息照相术中使用的特殊照相底板；当这种负片显影后，从后面用一束相干的气体激光束照明时，它在空间产生一个三维的图象(立体图象)。

产生全息图(全息照相)的基本原理如下：全息图所要记录的并不是物体的像而是物体光波本身。所以后来即使物体已经移去，只要照亮这个全息图，就能实现“再现”原始物体光波。这样，用眼睛观察这个再现

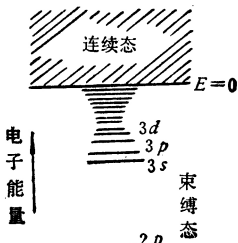


图 4

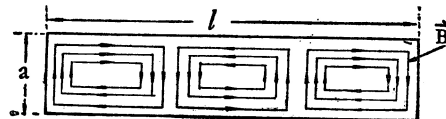


图 5 共振腔由一段波导作成(俯视图)

图中表示 $n = 3$ ,  $E$ 线未画出

的波前，就能看到这个物体的图象，它与原始的物体实际上不可分辨。全息照相的基本概念是一个二次绕射过程。被一个物体绕射产生的场可以表示为物体上光分布的富里叶变换。第二次绕射就成为物体富里叶变换的一个富里叶变换，它就是物体本身的一个像。这就是说，由全息图上发生的绕射将复制出物体光波，只要这两次绕射的全部振幅和位相都保持不变。为达到此目的，把一束单能的、相干的和高度准直的激光束分成两条光束(通常用参考镜子)。一条直接投射到涂

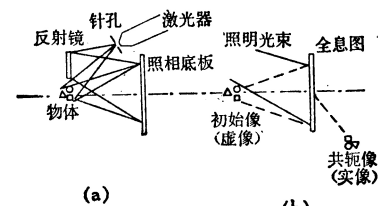


图 6 (a) 全息图的记录；  
(b) 重现原始物体光波

有高分辨率的感光乳胶的照相底板上。另一条则投射到想要拍摄的物体上(参看图6)，它被散射或绕射到用于拍摄的照相底板上，并且与第一条参考光束组成一个干涉图形(而不是像普通照相负片那样只收集光，使受光位置呈暗像)。原来被拍摄的物体可以用相干的光束(一般是利用拍摄时所用的同一激光器的光束)从后面照射全息图来再现出来。此时，全息图就像绕射光栅一样，除了产生直接透射光波外，还产生两束绕射光波，其中一束精确地复制出原始的物体光波。观察这个重现的波前，就能看见原始物体的一个精确的复型，虽然在重现过程中物体并不存在。另一束则给出一个立体的虚像。

(杜远才)

2) A 答 类氢原子的 $H_0$ 为：

$$H_0 = \mathbf{p}^2/2m_e - Ze^2/r, \quad r = |\mathbf{r}|$$

$H_{\omega}$ 已在题中给出，为：

$$H_{\omega} = -\kappa e \{ \phi(r) \sigma \cdot \mathbf{p} + \sigma \cdot \mathbf{p} \phi(r) \} / 2m_e c$$

在空间反演下，

$$\mathbf{r} \rightarrow -\mathbf{r},$$

$$t \rightarrow t,$$

$$\mathbf{p} \rightarrow -\mathbf{p},$$

$$\sigma \rightarrow \sigma,$$

所以  $H_0 \rightarrow \frac{1}{2m_e} (-\mathbf{p})^2 - \frac{Ze^2}{|-\mathbf{r}|} = H_0$

$$H_w \rightarrow \frac{-\kappa e}{2m_e c} \{ \phi(|-r|) \sigma \cdot (-p) + \sigma \cdot (-p) \phi(|-r|) \} = -H_w$$

由此可见，在空间反演下， $H_0$ 不变， $H_w$ 反号，两者的行为正好相反。下面解释为什么 $H_w$ 会把 $H_0$ 的具有不同宇称的本征态混合起来。

前已证明， $H_0$ 在空间反演下不变，所以， $H_0$ 与宇称算子 $P$ 对易，它们可有一整套完备的共同本征态，记它们为 $\{|\psi_{E_i^0, \eta_i}^{a_i}\rangle\}$ ，其中 $E_i^0, \eta_i$ 分别表示 $H_0$ 及 $P$ 的本征值， $a_i$ 表示标记态所必需的其它量子数。不过，与 $H_0$ 不同， $H_w$ 在空间反演下反号，不与 $P$ 对易，造成总哈密顿量 $H = H_0 + H_w$ 也不与 $P$ 对易。于是， $H$ 和 $P$ 不可能有一整套完备的共同本征态集合。也就是说，总哈密顿量的本征态中，必定存在不是宇称本征态的态。当将这些态用完备集 $\{|\psi_{E_i^0, \eta_i}^{a_i}\rangle\}$ 展开时，就必然表现为不同宇称的 $H_0$ 的本征态的混合。

此题也可用微扰论解释如下：

我们知道，到 $H_w$ 的最低阶， $H_0$ 的二任意本征态的混合，由 $H_w$ 在此二本征态间的矩阵元 $\langle \psi_{E_2^0, \eta_2}^{a_2} | H_w | \psi_{E_1^0, \eta_1}^{a_1} \rangle$ 决定。由于在宇称算子 $P$ 的作用下，有

$$\begin{aligned} P\{H_w | \psi_{E_1^0, \eta_1}^{a_1}\} &= (-H_w)\eta_1 |\psi_{E_1^0, \eta_1}^{a_1}\rangle \\ &= (-\eta_1)\{H_w | \psi_{E_1^0, \eta_1}^{a_1}\} \end{aligned}$$

这说明 $H_w | \psi_{E_1^0, \eta_1}^{a_1}\rangle$ 的宇称是 $-\eta_1$ 。于是，如果 $-\eta_1 \neq \eta_2$ ，此态就与 $|\psi_{E_2^0, \eta_2}^{a_2}\rangle$ 正交：

$$\langle \psi_{E_2^0, \eta_2}^{a_2} | H_w | \psi_{E_1^0, \eta_1}^{a_1} \rangle = 0.$$

由于 $H_w$ 不是零算子，所以 $H_w$ 的矩阵元不能都为0，它必定有且只能有联系不同宇称的态的矩阵元，这就意味着、存在着不同宇称的 $H_0$ 的本征态混合。

B 答 计算 $2p$ 态与 $1s$ 态的混合到 $b$ 的最低阶。

由类氢原子的 $H_0$ 给出的能级及波函数为：

$$E_n^0 = -m_e Z^2 e^4 / 2\hbar^2 n^2 \quad (1)$$

$$\phi_{nlms}(r, \theta, \varphi) = R_{nl}(r) Y_{lm}(\theta, \varphi) x_s \quad (2)$$

其中

$$R_{nl}(r) = N_{nl} e^{-Zr/n\alpha_0} (2Zr/n\alpha_0)^l L_{n+l}^{2l+1} 2Zr/n\alpha_0 \quad (3)$$

$\alpha_0 = \hbar^2/m_e e^2$  是玻尔半径

$N_{nl}$  是归一化常数。 $L_{n+l}^{2l+1}$  是缩合拉盖尔多项式。 $x_s$  是电子的自旋波函数。

由于本题要求的是对 $b$ 展开到最低阶，故需要先弄清 $H_w$ 在任意二态间的矩阵元对 $b$ 的依赖关系。

显然， $I = \langle nlms | H_w | n'l'm's' \rangle$

$$\begin{aligned} &\sim \int_{-\infty}^{+\infty} d^3x R_{nl}(r) Y_{lm}^*(\theta, \varphi) x_s^+ \{ \phi \sigma \cdot p \\ &+ \sigma \cdot p \phi \} R_{n'l'}(r) Y_{l'm'}(\theta, \varphi) x_{s'} \times \end{aligned}$$

(与 $b$ 无关的因子)

将(3)式代入，考虑到 $b \ll a_0$ ，即得

$$\begin{aligned} I \sim & \int_{-\infty}^{+\infty} d^3x r^l L_{n+l}^{2l+1} \left( \frac{2Zr}{na_0} \right) Y_{lm}^*(\theta, \varphi) x_s^+ \left\{ \frac{Ze}{r} e^{-r/b} \right. \\ & \left. + p + \sigma \cdot p \frac{Ze}{r} e^{-r/b} \right\} r^{l'} Y_{l'm'}(\theta, \varphi) x_{s'} \end{aligned}$$

(与 $b$ 无关的因子) + ... (b的非最低次项)

作积分变量变换 $r \rightarrow br$ ，并考虑到 $L_{n+l}^{2l+1} \left( \frac{2Zbr}{na_0} \right) \Big|_{b \rightarrow 0}$  非零常数，即可得到 $I \sim b^{1+l+l'} \times \{\text{与 } b \text{ 无关的因子}\}$

+ ..... (b的更高次项) (4)

由此可见，若要计算 $H_0$ 本征态的混合到 $b$ 的最低阶，只要算到 $H_w$ 的最低非零阶次即可，因为 $H_w$ 愈多， $b$ 的阶次就愈高。我们知道，到 $H_w$ 的一阶， $2p$ 态中混入 $1s$ 态的混合系数 $K$ 为：

$$K = \frac{\langle n=2, l=1, m_s | H_w | n=1, l=0, m_s \rangle}{E_1^0 - E_2^0} \quad (5)$$

由(1)~(3)式，有： $E_1^0 - E_2^0 = -3Z^2 e^2 / 8a_0$  (6)  
 $\langle 2, 1, m_s | H_w | 1, 0, 0, s' \rangle$

$$\begin{aligned} &= \int_{-\infty}^{+\infty} d^3x \times \left( \frac{Z}{2a_0} \right)^{3/2} \frac{Zr}{a_0 \sqrt{3}} e^{-Zr/a_0} Y_{1m}^*(\theta, \varphi) x_s^+ \\ &\times \left( \frac{-\kappa e}{2m_e c} \right) \{ \phi \sigma \cdot p + \sigma \cdot p \phi \} \left( \frac{Z}{a_0} \right)^{3/2} \\ &\times 2e^{-Zr/a_0} Y_{00}(\theta, \varphi) x_s' \end{aligned}$$

取到 $b$ 的最低阶次，上式成为

$$\frac{-i\kappa e^2 Z^3 \hbar b^2}{4 \sqrt{6\pi m_e c a_0^4}} \int_{-\infty}^{+\infty} d^3x \left( 1 + \frac{1}{r} \right) c^{-r} Y_{1m}^*(\theta, \varphi) x_s^+ \times \frac{\sigma \cdot r}{r} x_s' \quad (7)$$

容易算出： $\int_0^\infty r^2 dr (1 + 1/r) e^{-r} = 2$  (8)

$$\int d\Omega Y_{1m}^*(\theta, \varphi) x_s^+ (\sigma \cdot r) x_s' / r = \sqrt{4\pi/3} x_s^+ \sigma^{(+m)} x_s' \quad (9)$$

这里 $C$ 是 Clebsch-Gordon 系数。

将(8)(9)代入(7)式，有 $\langle 2, 1, m_s | H_w | 1, 0, 0, s' \rangle$

$$= \frac{-i\kappa e^2 Z^3 \hbar b^2}{\sqrt{6} m_e c a_0^4} C \left( \frac{1}{2}, s, 1m; \frac{1}{2}, s' \right) \quad (10)$$

最后，将(10)(6)两式代入(5)式，并应用

$\alpha_0 = \hbar^2/m_e e^2, \alpha = e^2/\hbar c$  得到 $2p$ 态中混进 $1s$ 态的系数为

$$K = 8i\kappa\alpha Z^3 b^2 / 3\sqrt{6} a_0^2 C(s/2, 1m; s'/2) \quad (11)$$

$1s$ 态中混进 $2p$ 态的系数与此完全相同。(朱重远)

(待续)